

Research Paper

## Synthesis of $\text{Bi}_{1-x}\text{Y}_x\text{Fe}_{0.8}\text{Cu}_{0.2}\text{O}_3$ Multiferroic Nanostructure by a Sol-gel Method and Investigating their Structural, Magnetic, and Dielectric Properties<sup>1</sup>

Seyed Ebrahim Mousavi Ghahfarokhi<sup>\*</sup> <sup>2</sup>and Maryam Adel <sup>3</sup>

Received: 2022.07.14

Revised: 2022.10.26

Accepted: 2023.01.27

### Abstract

In this research, first the bismuth ferrite nanostructure doped with Cu = 0.20 was prepared and then, its ( $\text{Bi}_{1-x}\text{Y}_x\text{Fe}_{0.80}\text{Cu}_{0.20}\text{O}_3$ ) doping with Y = 0.0, 0.05, 0.10, 0.15, 0.20, 0.25, and 0.30 by a sol-gel method at a temperature of 650 °C and a 1 h were studied. The structural properties of the samples have been characterized using XRD, FESEM, FT-IR, and EDX. Investigations of the structural properties showed that by increasing the Y percentage, the peaks are broader and partly have disappeared due to their small size. The magnetic and dielectric properties of the samples using the analyses of VSM, and LCR meters have been investigated. Investigations of the magnetic properties showed that by increasing Y content, the sample's ferromagnetic properties gradually increased. So that the saturation magnetism of our work (2.5 emu/g) compared to the work of others (0.85 emu/g) significantly has increased. Also, the substitute of bismuth ferrite with yttrium and copper has led to the change of the site of Fe in the octahedral center of  $\text{FeO}_6$  and the change of the bond angle in O-Fe-O. It has created an asymmetry in the structure, which has improved the dielectric properties of the samples. The results of the dielectric properties showed that the dielectric constant, dielectric loss and electric conductivity in the samples doped with Y and Cu are more than in samples without doping.

**Keywords:**  $\text{Bi}_{1-x}\text{Y}_x\text{Fe}_{0.80}\text{Cu}_{0.20}\text{O}_3$  Nanostructure, Magnetic Properties, Structural Properties, Dielectric Properties.

<sup>1</sup> DOI: 10.22051/ijap.2023.41051.1290

<sup>2</sup> Associate Professor, Department of Physics, Faculty of Science, Shahid Chamran University of Ahvaz, Ahvaz, Iran. (Responding Author), Email: musavi\_ebrahim@yahoo.co.uk

<sup>3</sup> MSc student, Department of Physics, Faculty of Science, Shahid Chamran University of Ahvaz, Ahvaz, Iran. Email: maryam\_adel1357@yahoo.com



# ساخت نانو ساختار چندفرمئی $\text{Bi}_{1-x}\text{Y}_x\text{Fe}_{0.8}\text{Cu}_{0.2}\text{O}_3$ به روش سل-ژل و بررسی ویژگی‌های ساختاری، مغناطیسی و دیالکتریکی آن‌ها<sup>۱</sup>

سید ابراهیم موسوی قهرخی\*<sup>۲</sup> و مریم عادل<sup>۳</sup>

تاریخ دریافت: ۱۴۰۱/۰۴/۲۳

فصلنامه علمی فیزیک کاربردی ایران

تاریخ بازنگری: ۱۴۰۱/۰۸/۰۴

دانشکده فیزیک، دانشگاه الزهرا

تاریخ پذیرش: ۱۴۰۱/۱۱/۰۷

سال سیزدهم، پیاپی ۳۳، تابستان ۱۴۰۲

صفحه ۵۶ - ۷۲

## چکیده:

در این پژوهش فریت‌بیسموت آلایش داده شده با مس ( $\text{BiFe}_{1-y}\text{Cu}_y\text{O}_3$  به مقدار  $y=0.20$ ) تهیه شد. سپس، آلایش آن با ایتریم  $\text{Bi}_{1-x}\text{Y}_x\text{Fe}_{0.80}\text{Cu}_{0.20}\text{O}_3$  با مقادیر ایتریم  $x=0.05, 0.10, 0.15, 0.20, 0.25$  و  $y=0.0, 0.05, 0.10, 0.15, 0.20$  به روش سل-ژل در دمای  $50^\circ\text{C}$  و زمان ۱ ساعت مطالعه گردید. با استفاده از آنالیزهای FESEM، FT-IR، XRD و EDX و ویژگی‌های ساختاری نمونه‌ها مورد مشخصه یابی قرار گرفت. بررسی‌های ویژگی‌های ساختاری نمونه‌ها نشان داد که با افزودن مقدار  $\text{Y}$ ، قله‌ها پهن‌تر و تا حدودی به دلیل کوچک بودن محو شده‌اند. با استفاده از آنالیزهای LCR و VSM و  $\text{FeO}_6$  متر ویژگی‌های مغناطیسی و دیالکتریکی نمونه‌ها مورد بررسی قرار گرفت. بررسی‌های صورت گرفته نشان می‌دهد که با افزایش غلظت ایتریم ویژگی فرومغناطیسی نمونه‌ها به تدریج افزایش یافته است. به صورتی که، مغناطش اشباع در کار حاضر ( $2/5 \text{ emu/g}$ ) نسبت به کار دیگران ( $0.85 \text{ emu/g}$ ) افزایش چشمگیری داشته است. همچنین جانشینی فریت‌بیسموت با ایتریم و مس، منجر به تغییر جایگاه  $\text{FeO}_6$  در مرکز هشت‌وجهی  $\text{Fe}-\text{O}$  و تغییر زاویه‌ی پیوندی در  $\text{O}-\text{Fe}-\text{O}$  شده و یک نامتقارنی در ساختار ایجاد کرده است که سبب بهبود ویژگی‌های دیالکتریکی در نمونه‌ها می‌شود. نتایج ویژگی‌های دیالکتریکی نمونه‌های آلایش شده با ایتریم و مس نشان داد که مقادیر ثابت دیالکتریک، اختلاف دیالکتریک و رسانندگی الکتریکی آن‌ها بیشتر از نمونه بدون آلایش است.

**واژگان کلیدی:** فریت‌بیسموت آلایده با مس و ایتریم  $\text{Bi}_{1-x}\text{Y}_x\text{Fe}_{0.8}\text{Cu}_{0.2}\text{O}_3$  ویژگی‌های ساختاری، ویژگی‌های مغناطیسی، ویژگی‌های دیالکتریکی.

<sup>۱</sup> DOI: 10.22051/ijap.2023.41051.1290

<sup>۲</sup> دانشیار، گروه فیزیک، دانشکده علوم، دانشگاه شهید چمران اهواز، اهواز، ایران. (نوبنده مسئول) Email: musavi\_ebrahim@yahoo.co.uk

<sup>۳</sup> دانش آموخته کارشناسی ارشد، گروه فیزیک، دانشکده علوم، دانشگاه شهید چمران اهواز، اهواز، ایران Email: maryam\_adel1357@yahoo.com



## ۱. مقدمه

هر ماده‌ای که به صورت هم‌زمان دارای دو یا چند نظم فروئیک باشد، چندفروئی، نامیده می‌شود. این مواد دارای قطبش خودبه‌خودی هستند که با اعمال یک میدان مغناطیسی خارجی، توانایی جهت‌گیری دوباره دارند [۱]. جفت شدگی دو نظم فروالکتریکی و فرومغناطیسی در مواد چندفروئی در یک فاز قابل مشاهده است که به آن‌ها مغناطوالکتریک نیز گفته می‌شود. به صورت کلی، دو گروه از چندفروئی‌ها وجود دارند. گروه‌بندی آن‌ها براساس منشأ نظم‌های مغناطیسی و فروالکتریکی است که چند فروئی نوع یک و چندفروئی نوع دو می‌باشند. در چند فروئی نوع یک ویژگی فروالکتریکی نسبت به مغناطیس در دمای بالاتری ظاهر می‌شود و اغلب قطبش خودبه‌خودی در این نوع به نسبت بزرگ است. چندفروئی نوع یک، براساس سازوکار رفتار فروالکتریک، به چهار گروه از قبیل: ساختار پرووسکیت، نظم بار، جفت‌های تنها و هندسی تقسیم می‌شود و فریت-بیسموت، جزء مواد چند فروئی نوع یک است [۲]. در ساختار پرووسکیت ویژگی‌های فرومغناطیس و فروالکتریک یک رابطه دو طرفه است. برای ایجاد نظم مغناطیسی آن، اوریتال  $d$  فلز واسطه باشد اوریتال  $d$  باید نیمه‌پر باشد، در حالی که باید برای ایجاد نظم فروالکتریک یون‌های عنصر واسطه باشد اوریتال  $d$  باید خالی باشند. نظم بار می‌تواند منجر به پدیده فروالکتریکی در چند فروئی نوع یک شود که این پدیده اغلب در ترکیبات فلزات واسطه به ویژه آن‌هایی که شامل یون‌های واسطه با ظرفیت‌های مختلف هستند دیده می‌شود. در فریت‌بیسموت  $\text{BiFeO}_3$  یون  $\text{Bi}^{+3}$  نقش اساسی در منشأ فروالکتریک دارد [۳]. تغییر شکل در ساختار هندسی بلور سبب رفتار فروالکتریکی می‌شود. در مواد چندفروئی مغناطش سبب فروالکتریکی می‌گردد، که شاخص جفت شدگی قوی بین مغناطیس و فروالکتریک است. در مواد چندفروئی، نوع دو قطبش کمتری نسبت به نوع یک دارد. در چندفروئی‌ها قطبش الکتریکی تنها در یک حالت نظم یافته مغناطیسی وجود دارد. کیمورا<sup>۱</sup> و همکاران نشان دادند که میدان مغناطیسی روی قطبش الکتریکی تأثیر بسیار زیادی خواهد داشت. همان‌طور که گفته شد برای چندفروئی شدن باید ماده به صورت هم‌زمان دارای دو ویژگی فروالکتریکی و فرومغناطیسی داشته باشد. وجود هم‌زمان این نظم بسیار سخت و نادر است. چرا که وجود اوریتال‌های اتمی نیمه‌پر  $d$  که مورد نیاز گشتاورهای مغناطیسی هستند، اغلب مانع از وجود دو قطبی‌های الکتریکی موضعی، که به صورت کلی مرتبط با وجود پوسته خالی  $d$  یا آرایش جفت الکترون تنها است، می‌شود [۴].

<sup>۱</sup> Kimura

بر پایه سازوکار رفتار چند فروئی نوع دو در دو گروه اصلی طبقه‌بندی می‌شود. دسته اول به وسیله نوع ویژه‌ای از مارپیچ مغناطیسی، فروالکتریکی را ایجاد می‌کنند. دسته دوم با ساختارهای مغناطیسی خطی، رفتار فروالکتریک، ظاهر می‌شود [۵]. نوشتند داده‌ها توسط قطبش الکتریکی، سریع‌تر از نوشتند با کمک مغناطش است ولی بیت‌های فروالکتریکی، نسبت به بیت‌های فرومغناطیسی، سخت‌تر خوانده می‌شوند. مزیت ایده‌آلی که حافظه‌ها، مبنی بر اثر مغناطوالکتریک می‌توانند داشته باشند این است که می‌توان داده‌ها را به صورت فروالکتریکی در آن‌ها نوشت و از راه حالت فرمغناطیس جفت شده با آن، داده‌ها را خواند [۶]. چند فروئی‌ها دسته متنوعی از مواد هستند و هیچ نظریه منحصر به‌فردی برای همه این مواد وجود ندارد. سازوکارهای فیزیکی حاکم بر هر ماده با دیگر مواد چند فروئی به درستی تفاوت دارند. در سال ۱۸۹۴ پیر کوری<sup>۱</sup> ویژگی مغناطوالکتریک مواد را معرفی کرد. وی در قرن ۱۹ میلادی اولین ایده درباره این که بلورها می‌توانند به صورت هم‌زمان ویژگی مغناطیسی و الکتریکی داشته باشند را بیان کرد. در سال ۱۹۲۲ پریر<sup>۲</sup> بر آن شد تا ماده‌ای که ویژگی چند فروئی داشته باشد را معرفی کند که نتیجه تحقیقاتش، ترکیبات حاوی نیکل (Ni) بودند که امروزه در یافه‌های ویژگی‌های چند فروئی در آن‌ها امکان پذیر نیست [۷]. سپس در سال ۱۹۵۸ ترکیبات جدیدی که بتوانند نظم مغناطیسی و الکتریکی را به صورت هم‌زمان دارا باشند، به کمک اسماولونسکی و لف<sup>۳</sup> پیشنهاد شد [۸]. در سال ۱۹۶۷ آشنای<sup>۴</sup> و همکاران، موفق به تولید پس بلورهای فریت‌بیسموت تک‌فاز شدند [۹].

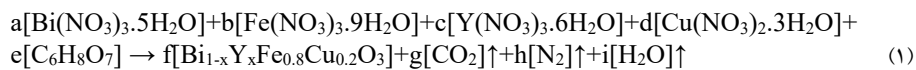
فریت‌بیسموت ( $\text{BiFeO}_3$ ) که اغلب در علم مواد به آن (BFO) گفته می‌شود، یک ترکیب شیمیایی دارای ساختار پرووسکیت لوزی‌رخ اعوجاج یافته، با گروه فضایی  $\text{R}_{3\text{C}}$  می‌باشد. این ماده یک ماده چند فروئی تک‌فاز است که بالاتر از دمای محیط، هر دو ویژگی فروالکتریکی و فرمغناطیسی را دارد [۱۰]. بنابراین با نظم الکتریکی و مغناطیسی خود می‌تواند گزینه مناسبی برای انواع کاربردها، چون ذخیره‌سازی اطلاعات، حسگرهای دستگاه‌های اسپیترونیک، رادیو، ماهواره‌های ارتباطی، صوتی، تصویری و ضبط‌های دیجیتالی باشد. برای ساخت این ماده از روش‌های مختلفی از جمله، سل-ژل، آبی حرارتی، هم‌رسوبی و غیره، استفاده شده است [۱۱]. در سال‌های اخیر برای بهبود ویژگی‌های ساختاری، مغناطیسی، دی‌الکتریکی، اپتیکی و فوتوكاتالیستی فریت‌بیسموت از عناصر مختلفی از قبیل  $\text{Ba}^{2+}$  و  $\text{Gd}^{3+}$  [۱۲]، Mn [۱۳] و La-Mg [۱۴]

<sup>1</sup> Pierre Curie<sup>2</sup> Perrier<sup>3</sup> Smolonsky Wolf<sup>4</sup> Achenbach

[۱۶-۱۸] Zn-Co ، [۱۵] Y ، [۱۴] Co صورت گرفته، فریت بیسموت با آلایش هم زمان ایتریم و مس به روش سل-ژل، انجام نشده است. از این رو، در این پژوهش نانوذرات فریت بیسموت با ایتریم و مس آلاییده و سپس، ویژگی های ساختاری، مغناطیسی و دی الکتریکی آن بررسی شده است.

## ۲. مواد و روش‌ها

برای ساخت نانوذرات فریت بیسموت آلاییده شده با مس و ایتریم  $\text{Bi}_{1-x}\text{Y}_x\text{Fe}_{0.8}\text{Cu}_{0.2}\text{O}_3$ ، به روش سل-ژل، از مواد اولیه از قبیل نیترات بیسموت ۵ آبه  $\text{Bi}(\text{NO}_3)_3 \cdot 5\text{H}_2\text{O}$ ، ساخت شرکت چم - لب با خلوص ۹۸,۵ درصد، نیترات آهن ۹ آبه  $\text{Fe}(\text{NO}_3)_3 \cdot 9\text{H}_2\text{O}$ ، ساخت شرکت چم - لب با خلوص ۹۸ درصد، نیترات مس ۳ آبه  $\text{Cu}(\text{NO}_3)_2 \cdot 3\text{H}_2\text{O}$ ، ساخت شرکت چم - لب با خلوص ۹۹ درصد، نیترات ایتریم ۶ آبه  $\text{Y}(\text{NO}_3)_3 \cdot 6\text{H}_2\text{O}$ ، ساخت شرکت چم - لب با خلوص ۹۹ درصد و اسید سیتریک خشک  $\text{C}_7\text{H}_8\text{O}_6$ ، ساخت شرکت چم - لب با خلوص ۹۹ درصد استفاده شد. سپس مقادیر مورد نیاز را با استفاده از معادله واکنش شیمیایی، موازن شده (۱)، در رابطه (۲) قرار داده تا مقدارهای مورد نیاز تعیین گردد [۱۵].



$$\frac{\text{ضریب در واکنش شیمیایی} \times \text{جرم مولی ماده اولیه}}{\text{ضریب در واکنش شیمیایی} \times \text{جرم مولی ماده محصول}} = \text{مقدار ماده اولیه بر حسب گرم} \quad (2)$$

حروف a, b, c, d, e, f, g, h و i در معادله شیمیایی (۱)، ضرایب مولی پس از موازنی واکنش به ازای مقادیر مختلف (۰/۳۰، ۰/۲۵، ۰/۲۰، ۰/۱۵، ۰/۱۰، ۰/۰۵، ۰/۰۰) تعیین شد. ساخت این نانوذرات آلاییده شده با ایتریم و مس برای ساخت ۲ گرم از  $\text{Bi}_{0.9}\text{Y}_{0.1}\text{Fe}_{0.8}\text{Cu}_{0.2}\text{O}_3$  در جدول (۱) آمده است.

### جدول ۱ مقادیر مواد اولیه برای $\text{Bi}_{0.9}\text{Y}_{0.1}\text{Fe}_{0.8}\text{Cu}_{0.2}\text{O}_3$ از ترکیب ۲ گرم

نام مواد اولیه	جرم مولی (g/mol)	ضریب مولی در واکنش	جرم ماده (g)
نیترات بیسموت آبه	۴۸۵,۰۷۲	۹۰	۲,۸۸۶
نیترات آهن آبه	۴۰۳,۹۹۷	۸۰	۲,۱۳۶
نیترات ایتریم آبه	۳۸۳,۰۱۲	۱۰	۰,۲۵۲
نیترات مس آبه	۲۴۱,۶۰۱	۲۰	۰,۳۱۸
اسید سیتریک	۱۹۲,۱۲۴	۱۶۰	۲,۰۳۲

برای ساخت نانوذرات فریت بیسموت آلاییده شده با مس و ایتریم  $\text{Bi}_{1-x}\text{Y}_x\text{Fe}_{0.8}\text{Cu}_{0.2}\text{O}_3$  به روش سل-ژل، ابتدا مقادیر مورد نیاز از نیترات بیسموت  $\text{Bi}(\text{NO}_3)_3 \cdot 5\text{H}_2\text{O}$ ، نیترات آهن  $\text{Fe}(\text{NO}_3)_3 \cdot 9\text{H}_2\text{O}$ ، نیترات مس  $\text{Cu}(\text{NO}_3)_2 \cdot 3\text{H}_2\text{O}$  و نیترات ایتریم  $\text{Y}(\text{NO}_3)_3 \cdot 6\text{H}_2\text{O}$  را درون آب دوبار یون زدایی شده ریخته و بر روی یک هم زن مغناطیسی قرار داده تا محلول همگنی بدست آید. پس از ۳۰ دقیقه به آرامی مقداری اسید سیتریک  $\text{C}_7\text{H}_8\text{O}_6$  به آن افزوده شد. سپس برای تعیین  $\text{pH} = ۷$ ، آمونیاک به صورت قطره‌ای به محلول افزوده و پس از ۳۰ دقیقه محلول را درون حمام آب با دمای  $۸۰^\circ\text{C}$  قرار داده تا ژل مورد نظر تشکیل گردد. ژل بدست آمده به مدت ۴۸ ساعت درون آون با دمای  $۷۰^\circ\text{C}$  قرار داده تا به درستی خشک شود. ژل خشک را آسیاب نموده و در دمای  $۶۵^\circ\text{C}$  و زمان ۱ ساعت پخت گردید [۱۶ و ۱۴]. سپس نمونه‌های آلایش داده شده با مس و ایتریم دوباره آسیاب شدند. در نهایت، ویژگی‌های ساختاری آن‌ها به کمک طیف‌سننجی پراش پرتو ایکس (XRD) با دستگاه مدل Philips، میکروسکوپ تبدیل فوریه-مادون قرمز (FT-IR) با دستگاه مدل BOMEN/MB102، میکروسکوپ الکترونی روبشی گسیل میدانی (FESEM) با دستگاه مدل MIRA3 مورد بررسی قرار گرفت. هم‌چنین ویژگی‌های دیالکتریکی نمونه‌ها به کمک دستگاه LCR متر مدل ۸۲۱ ساخت کشور تایوان مورد مشخصه‌یابی قرار داده شد.



### ۳. نتایج و بحث

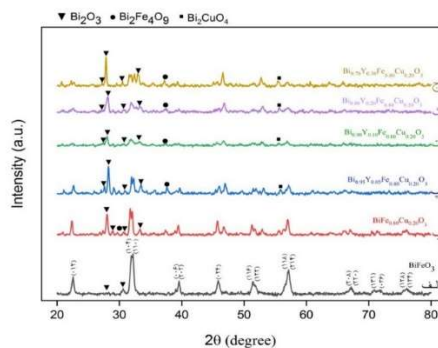
شکل (۱) نتایج آنالیز پرتوی ایکس نمونه‌های آلایده شده با مس و ایتریم با فرمول شیمیایی- $\text{Bi}_{1-x}\text{Y}_x\text{Fe}_{0.8}\text{Cu}_{0.2}\text{O}_3$  با مقادیر  $x = 0.0, 0.1, 0.2, 0.3, 0.4, 0.5$  در دمای پخت  $650^\circ\text{C}$ ، با زمان پخت ۱ ساعت را نشان می‌دهد. با استفاده از نرم‌افزارهای آنالیز الگوی پراش نظیر X'Pert High Score Plus با کارت استاندارد نمونه BFO (JCPDS ۱۵۱۸-۱۵۸۶)، مورد مقایسه قرار گرفتند و با استفاده از رابطه (۳) درصد فاز اصلی و فازهای ثانویه تعیین گردید و نتایج در جدول (۲) آورده شده است. اندازه متوسط ریزبلورک‌ها، با کمک رابطه شر (۴) محاسبه شده و نتایج بدست آمده از این اندازه‌گیری‌ها در جدول (۲) نشان داده شده است. پس از بررسی مشخص شد که با افزایش مقدار ایتریم، متوسط ریزبلورک‌ها کاهش یافته‌اند که این امر را می‌توان به کوچک بودن شعاع یونی ایتریم نسبت به شعاع یونی بیسموت دانست.

شکل (۱-الف) الگوی پراش پرتو ایکس نمونه بدون آلایش فریت‌بیسموت و شکل (۱-ب)، الگوی پراش پرتو ایکس نمونه آلایده شده با مس ( $\text{BiFe}_{0.8}\text{Cu}_{0.2}\text{O}_3$ ) را نشان می‌دهند. با افزودن ایتریم  $x = 0.1$  (۱-ت) درصد فاز فریت‌بیسموت افزایش پیدا کرده و پس از آن با افزایش مقدار آلایش ایتریم، درصد فاز فریت‌بیسموت کاهش یافته به صورتی که قله‌های اصلی فریت‌بیسموت پهن‌تر شده‌اند [۱۹-۱۷].

$$\frac{\sum I_{(\text{فاز})}}{A} = \text{درصد فاز} \quad (3)$$

$$D = \frac{0.9\lambda}{L \cos \theta} \quad (4)$$

در رابطه ۳ مجموع کل شدت فازها در هر نمونه است و در رابطه ۴،  $\lambda$  و  $\theta$  به ترتیب طول موج پرتو ایکس، پهنه‌ی نصف قله موج و زاویه برآگ هستند. شکل (۲) نتایج آنالیز-FTIR برای نمونه‌های آلایده شده با مس و نمونه‌های آلایده شده با مقادیر مختلف ایتریم  $\text{Bi}_{1-x}\text{Y}_x\text{Fe}_{0.8}\text{Cu}_{0.2}\text{O}_3$  با مقادیر  $x = 0.0, 0.1, 0.2, 0.3, 0.4$  در بازه  $400-4000\text{ cm}^{-1}$  را نشان می‌دهد.



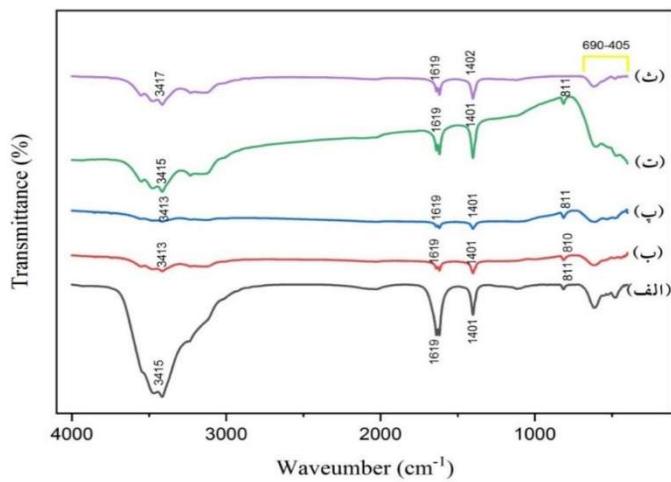
شکل ۱ الگوی پرتو ایکس نمونه‌های تهیه شده آلاییده شده با مس و ایتریم  $\text{Bi}_{1-x}\text{Y}_x\text{Fe}_{0.8}\text{Cu}_{0.2}\text{O}_3$ : (الف) بدون آلایش، (ب)  $x=0.1$ ، (پ)  $x=0.2$ ، (ت)  $x=0.3$ ، (ث)  $x=0.4$ ، (ج)  $x=0.5$

جدول ۲ درصد فاز و اندازه نانو بولورک‌ها برای نمونه بدون آلایش و نمونه‌های آلایش داده شده با مس و ایتریم.

درصد فاز $\text{Cu}_2\text{Y}_2\text{O}_5$	درصد فاز $\text{Bi}_2\text{Fe}_4\text{O}_9$	درصد فاز $\text{Bi}_2\text{O}_3$	درصد فاز BFO	D(nm)	ماده
۰	۰	۵	۹۵	۵۷	$\text{BiFeO}_3$
۰	۶	۲۶	۶۸	۳۹	$\text{Bi}_{0.8}\text{Y}_{0.2}\text{FeO}_3$
۰	۱۰	۲۰	۷۰	۳۳	$\text{Bi}_{0.8}\text{Y}_{0.2}\text{Fe}_{0.95}\text{Cu}_{0.05}\text{O}_3$
۲	۹	۲۹	۶۰	۳۱	$\text{Bi}_{0.8}\text{Y}_{0.2}\text{Fe}_{0.9}\text{Cu}_{0.1}\text{O}_3$
۴	۱۶	۳۳	۴۷	۲۶	$\text{Bi}_{0.8}\text{Y}_{0.2}\text{Fe}_{0.8}\text{Cu}_{0.2}\text{O}_3$
۷	۱۳	۳۴	۴۶	۲۶	$\text{Bi}_{0.8}\text{Y}_{0.2}\text{Fe}_{0.7}\text{Cu}_{0.3}\text{O}_3$

پیوندهای جذبی در گستره  $690\text{ cm}^{-1}$ - $405\text{ cm}^{-1}$  مربوط به پیوندهای اکسیدهای فلزات است که در این گستره، پیوندهای O-Y-O، O-Fe-O، O-Bi-O مشاهده می‌شود. درهای مربوط به ارتعاشات کششی و خمشی O-Fe-O، در این بازه دلالت بر حضور هشت‌وجهی  $\text{FeO}_6$  در ساختارهای پرووسکیت دارد. از این رو، تمام نمونه‌ها دارای این ساختار می‌باشند که با نمونه‌های XRD هماهنگ است. بازه  $1401\text{ cm}^{-1}$  مربوط به حضور یون‌های نیترات می‌باشد. و قلهای پهن  $3600\text{ cm}^{-1}$ - $3100\text{ cm}^{-1}$  و  $1619\text{ cm}^{-1}$  به ترتیب مربوط به ارتعاشات کششی و خمشی H-O می‌باشد که نشان‌دهنده وجود رطوبت در نمونه‌ها است. در بعضی از نمونه‌ها دیده شده درهایی حذف، یا جایه‌جا شده‌اند، دلیل این رخداد، تجزیه یا تبخیر بعضی از ترکیبات نیترات، می‌تواند باشد.[۲۰]





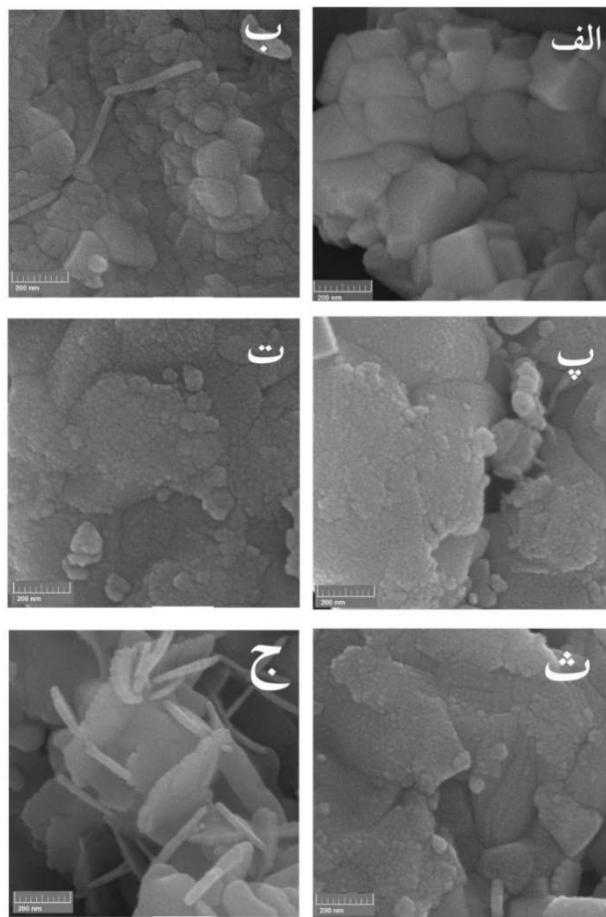
شکل ۲ طیف FT-IR نمونه‌های آلاییده شده با مس و ایتریم  $\text{Bi}_{1-x}\text{Y}_x\text{Fe}_{0.8}\text{Cu}_{0.2}\text{O}_3$ ، (الف)  $x = 0.0$ ، (ب)  $x = 0.2$ ، (ج)  $x = 0.5$  و (د)  $x = 0.8$

جدول ۳ متوسط اندازه نانو ساختارها برای نمونه بدون آلایش و نمونه‌های آلایش داده شده با مس و ایتریم.

نمونه	متوسط اندازه نانو ساختارها (nm)
$\text{BiFeO}_3$	۹۸
$\text{Bi}_{0.8}\text{Y}_{0.2}\text{FeO}_3$	۷۰
$\text{Bi}_{0.8}\text{Y}_{0.2}\text{Fe}_{0.95}\text{Cu}_{0.05}\text{O}_3$	۶۳
$\text{Bi}_{0.8}\text{Y}_{0.2}\text{Fe}_{0.90}\text{Cu}_{0.10}\text{O}_3$	۱۰۵
$\text{Bi}_{0.8}\text{Y}_{0.2}\text{Fe}_{0.8}\text{Cu}_{0.2}\text{O}_3$	۸۲
$\text{Bi}_{0.8}\text{Y}_{0.2}\text{Fe}_{0.7}\text{Cu}_{0.3}\text{O}_3$	۱۲۰

شکل (۳) تصاویر آنالیز FESEM برای نمونه‌های آلاییده شده با مس و ایتریم  $\text{Bi}_{1-x}\text{Y}_x\text{Fe}_{0.8}\text{Cu}_{0.2}\text{O}_3$  با مقادیر  $x = 0.0, 0.2, 0.5, 0.8$  تهیه شده در دمای پخت  $650^\circ\text{C}$  با مدت زمان ۱ ساعت را نشان می‌دهد. متوسط اندازه نانوذرات با استفاده از برنامه Digimizer محاسبه و در جدول (۳) ارائه شده است. با توجه به تصاویر در نمونه بدون آلایش اندازه ذرات بزرگ‌تر و با افزایش مقدار ایتریم، در بعضی از نمونه‌ها اندازه ذرات کوچک‌شده‌اند. اگرچه، در برخی از آن‌ها ریخت‌شناسی به حالت ورقه‌ای تغییر یافته است. همچنین افزایش مقدار ایتریم روی

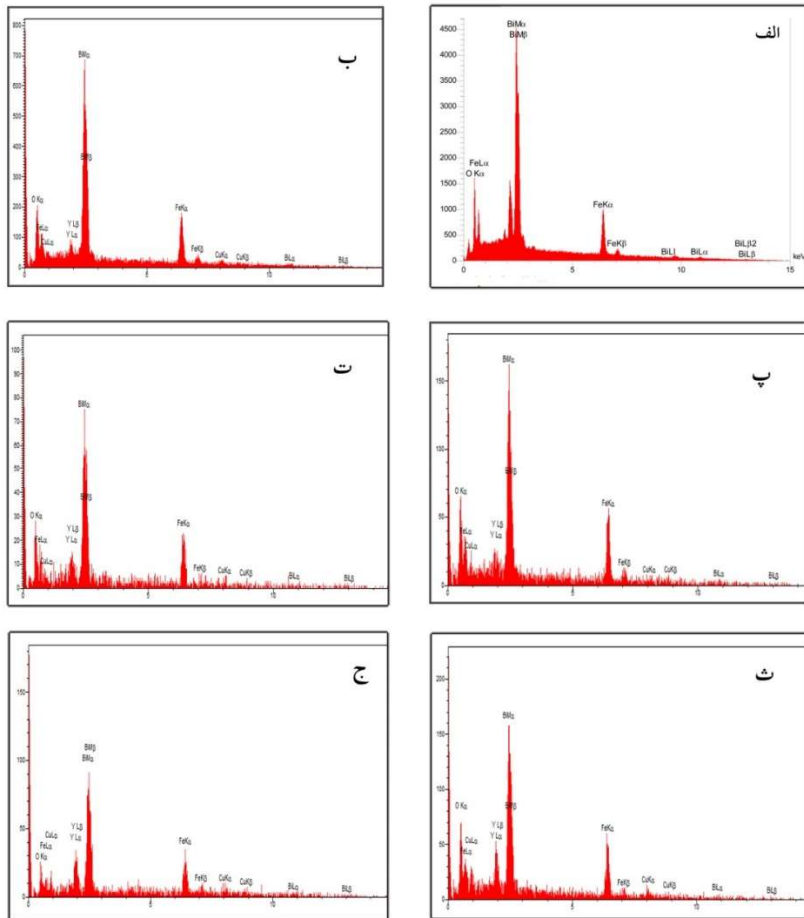
ریخت شناسی نانوذرات تاثیرگذار بوده و سبب تغییر طول پیوند O-Fe-O در نمونه ها و تغییر ساختار از لوزی رخ به شبکه مکعبی شده است [۲۱ و ۲۲].



شکل ۳ تصاویر FESEM نمونه های آلايده شده با مس و ايتریم  $\text{Bi}_{1-x}\text{Y}_x\text{Fe}_{0.8}\text{Cu}_{0.2}\text{O}_3$ ، (الف) بدون آلايش،  
 (ب)  $x = 0, 0$ ، (ت)  $x = 0, 10$ ، (پ)  $x = 0, 20$ ، (ش)  $x = 0, 30$  و (ج)  $x = 0, 40$

به منظور مطالعه و بررسی کمی و کیفی عناصر موجود در نمونه ها و همچنین عنصر ایتریم (Y) و مس (Cu) در نمونه های آلايده شده با Cu و Y، آنالیز EDX انجام شد (شکل ۴).



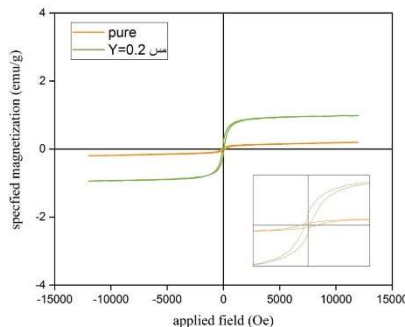


**شکل ۴ تصاویر EDX نمونه‌های، (الف) بدون آلایش، آلاییده شده با مس و ایتریم (ب) و (ج)**

همان طور که در شکل (۴-الف) مشاهده می شود، عناصر Fe، Bi و O حضور دارند که مربوط به فریت بیسموت بدون آلایش است. شکل (۴-ب) مربوط به نمونه آلاییده شده با مس است، و قله هیچ عنصر دیگری به جزء عنصر مس در آن مشاهده نشده است. اگرچه، با افزودن مقادیر مختلف عنصر ایتریم، قله های مربوط به عنصر ایتریم نیز مشاهده می شود که هر چه مقدار آلاییدن افزایش یابد، ارتفاع قله های Bi کمتر خواهد شد و قله های مس و ایتریم افزایش می یابند.

در شکل های (۵) و (۶) نتایج اندازه گیری حلقه پسماند مغناطیسی در دمای اتاق، برای نمونه های بدون آلایش و آلایده شده با مس و ایتریم  $\text{Bi}_{1-x}\text{Y}_x\text{Fe}_{0.8}\text{Cu}_{0.2}\text{O}_3$  با مقادیر ۰,۳۰ و ۰,۲۰،  $x = 0,0,0,10$  تهیه شده در دمای پخت  $650^\circ\text{C}$  به مدت ۱ ساعت نشان داده شده است. شکل (۵)، حلقه پسماند مغناطیسی فریت بیسوموت و آلایش با مس  $= 0,20 = y$  را نشان می دهد. شکل ۶ حلقه پسماند مغناطیسی نمونه های آلایده شده با مس و ایتریم با درصد های مختلف را نشان می دهد. با استفاده از حلقه پسماند، ویژگی های مغناطیسی نمونه ها از قبیل مغناطش پسماند ( $M_r$ )، مغناطش اشباع ( $M_s$ ) و نیروی وارداندگی مغناطیسی ( $H_c$ )، در  $H = 10000\text{ Oe}$  اندازه گیری شده و نتایج بدست آمده در جدول (۴) بیان شده است.

با مقایسه و بررسی های صورت گرفته نتیجه می شود که با افزایش غلظت ایتریم، ویژگی فرومغناطیسی نمونه ها به تدریج افزایش یافته است که این عامل را می توان به کوچک تر شدن اندازه نانوذرات نسبت داد. چرا که با افزایش مقدار آلایش ایتریم اندازه متوسط نانوذرات کاهش یافته و از کامل شدن دوره تناوب ( $\lambda = 64 - 62\text{ nm}$ ) اسپین چرخان (مارپیچی) در فریت بیسوموت جلوگیری می کند. همچنین جانشین شدن  $\text{Y}$  به جای  $\text{Bi}$  زاویه پیوندی در  $\text{O}-\text{Fe}-\text{O}$  را تغییر می دهد و این تغییر سبب اعوجاج و نامتقارنی بیشتر در نمونه ها شده که موجب تقویت ویژگی مغناطیسی شده است [۱۹ و ۲۰]. به صورتی که مغناطش اشباع در کار حاضر ( $5\text{ emu/g}$ ) نسبت به کار دیگران ( $0.85\text{ emu/g}$ ) افزایش چشمگیری داشته است [۱۶].

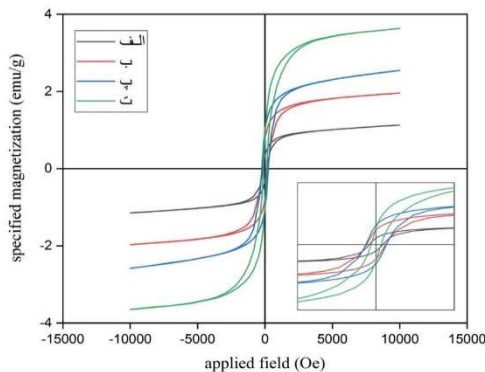


شکل ۵ حلقه پسماند مغناطیسی بدون آلایش و آلایده شده با مس.



**جدول ۴** نیروی و ادارندگی مغناطیسی ( $H_C$ ) مغناطش پسماند ( $M_r$ ) و مغناطش اشباع ( $M_s$ ) برای نمونه بدون آلایش و نمونه‌های آلایش داده شده با مس و ایتریم.

$M_s(\text{emu/g})$ ( $H=10000\text{Oe}$ )	$M_r(\text{emu/g})$	$H_C(\text{Oe})$	نمونه
۰,۱۹۷۴۳	۰,۰۳۹۰۲	۱۶۹,۲۶۷۶	$\text{BiFeO}_3$
۰,۷۷۷۲۳	۰,۲۲۱۲۴	۱۷۶,۱۹۷۴۳	$\text{Bi}_{0.8}\text{Y}_{0.2}\text{FeO}_3$
۲,۹۹۳۳۹	۰,۳۲۷۴۶	۶۰,۵۸۵۹	$\text{Bi}_{0.8}\text{Y}_{0.2}\text{Fe}_{0.95}\text{Cu}_{0.05}\text{O}_3$
۱,۴۸۸۷۳	۰,۳۳۷۵۴	۱۷۶,۷۳۹۸	$\text{Bi}_{0.8}\text{Y}_{0.2}\text{Fe}_{0.90}\text{Cu}_{0.10}\text{O}_3$
۲,۵۴۵۹۴	۱,۰۲۶۰۸	۲۴۵,۹۵۱۰	$\text{Bi}_{0.8}\text{Y}_{0.2}\text{Fe}_{0.8}\text{Cu}_{0.2}\text{O}_3$
۰,۷۰۳۰	۰,۰۱۷۱۹	۲۵,۴۲۶۰	$\text{Bi}_{0.8}\text{Y}_{0.2}\text{Fe}_{0.7}\text{Cu}_{0.3}\text{O}_3$



شکل ۶ حلقه پسماند مغناطیسی نمونه‌های با مس و ایتریم  $\text{Bi}_{1-x}\text{Y}_x\text{Fe}_{0.8}\text{Cu}_{0.2}\text{O}_3$ ، (الف)  $x = 0,05$ ، (ب)  $x = 0,10$ ، (ج)  $x = 0,20$ ، (د)  $x = 0,30$ .

برای بررسی ویژگی دیالکتریکی نمونه‌ها از دستگاه LCR متر استفاده شد. به کمک این دستگاه مقادیر  $C_p$  و  $R_p$  در دمای اتاق فریت بیسیموت آلاییده شده با مس و ایتریم  $\text{Bi}_{1-x}\text{Y}_x\text{Fe}_{0.8}\text{Cu}_{0.2}\text{O}_3$  با مقادیر  $x = 0,0, 0,10, 0,20, 0,30$  در دمای پخت  $65^\circ\text{C}$  با زمان پخت ۱ ساعت، در گستره بسامدی  $10\text{ MHz}$  تا  $100\text{ Hz}$  اندازه گیری شده است. همچنین با استفاده از رابطه‌های (۵)، (۶)، (۷) و (۸) که به ترتیب برای ثابت دیالکتریک ( $\epsilon_0$ )، فاکتور اتلاف دیالکتریک ( $\tan\delta$ )، اتلاف دیالکتریک ( $\epsilon'$ ) و رسانندگی دیالکتریک ( $\sigma_{ac}$ ) در بازه بسامدی بیان شده است، محاسبه انجام شد. شکل‌های (۷)، (۸) و (۹) به ترتیب، ثابت دیالکتریک ( $\epsilon_0$ )، اتلاف دیالکتریک

(۵) و رسانندگی الکتریکی ( $\sigma_{ac}$ )، به صورت تابعی از بسامد برای نمونه‌های آلایش داده شده با ایتریم و مس را به تصویر می‌کشد. با توجه به بررسی‌ها و نتایج محاسبه شده، مقادیر ثابت دیالکتریک و اتلاف دیالکتریک با افزایش بسامد، به سرعت کاهش می‌یابند و در بسامدهای بالا، به مقدار ثابتی می‌رسند. دلیل کاهش با نظریه‌های ماکسول - واگنر و کوب قابل شرح است. با توجه به این مدل، مواد دیالکتریک با ساختار ناهمگن را می‌توان این گونه تصور کرد که شامل دانه‌هایی با رسانش الکتریکی خوب می‌باشند که با کمک لایه‌های نازک مقاومتی (مرزدانه‌ها) زیادی از هم جدا شده‌اند. با اعمال ولتاژ بر نمونه، به صورت کلی، در عبور از میان مرزدانه‌ها کاهش یافته و یک قطبش بار فضایی در مرزدانه‌ها ایجاد می‌کند. قطبش بار فضایی، به کمک بارهای آزاد موجود در مرزدانه‌ها رسانندگی الکتریکی نمونه‌ها را هدایت می‌کند. بنابر نظریه کوب، ثابت دیالکتریک در فرکانس‌های پایین، از مرزدانه‌ها ناشی می‌شود که به دلیل مقاومت الکتریکی بالا در مرزدانه‌ها، دارای مقادیر بالایی است و ثابت دیالکتریک در فرکانس‌های بالا، از دانه‌ها ناشی می‌شود که به دلیل مقاومت الکتریکی پایین در دانه‌ها، دارای مقادیر پایینی است [۱۹]. هم‌چنین آلایش فریت-بیسموت با ایتریم و مس، منجر به تغییر جایگاه Fe در مرکز هشت‌ وجهی  $\text{FeO}_6$  و تغییر زاویه پیوندی در O-Fe-O شده و یک نامتقارنی در ساختار ایجاد کرده است که سبب بهبود ویژگی‌های دیالکتریکی در نمونه‌ها شده است. رسانندگی الکتریکی در بسامدهای بالا افزایش می‌یابد و با مقایسه نمونه آلایده شده با ایتریم و مس، و نمونه بدون آلایش نتیجه می‌شود که مقادیر ثابت دیالکتریک، اتلاف دیالکتریک و رسانندگی الکتریکی بیشتر از نمونه بدون آلایش است [۲۱-۲۵].

$$\epsilon = \frac{cd}{\epsilon_0 A} \quad (5)$$

$$\tan\delta = \frac{1}{2\pi f R_p C_p} \quad (6)$$

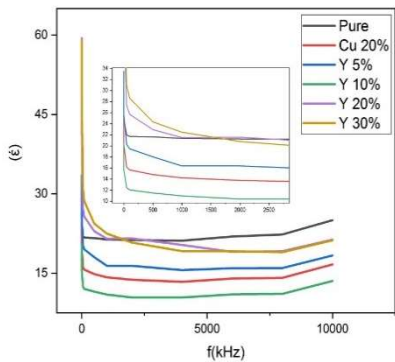
$$\xi = \epsilon \tan\delta \quad (7)$$

$$\sigma_{ac} = 2\epsilon\epsilon_0\pi f t \tan\delta \quad (8)$$

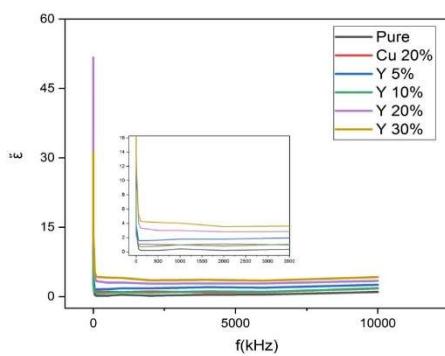
در رابطه (۵)،  $C$ ،  $d$ ،  $A$ ،  $\epsilon_0$  به ترتیب، ظرفیت خازن نمونه بر حسب فاراد، ضخامت قرص بر حسب متر، مساحت سطح مقطع قرص بر حسب متر مربع و ثابت دیالکتریک خلا می‌باشند. در رابطه (۶)،  $\delta$ ، زاویه اتلاف،  $f$  بسامد بر حسب هرتز،  $R_p$  مقاومت معادل موازی مدار بر حسب اهم، و  $C_p$



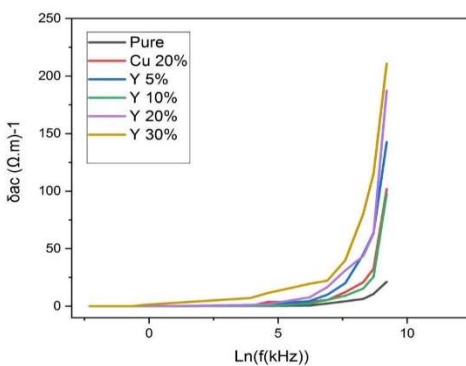
ظرفیت موازی بر حسب فاراد می‌باشد. واحد اتلاف دیالکتریک  $(\Omega \cdot F \cdot Hz)^{-1}$  است و واحد رسانندگی ac بر حسب  $(\Omega \cdot m)^{-1}$  است.



شکل ۷ نمودار ثابت دیالکتریک بر حسب بسامد برای نمونه‌های آلاییده شده با مس و درصدهای مختلف ایتریم  $.Bi_{1-x}Y_xFe_{0.8}Cu_{0.2}O_3$



شکل ۸ نمودار اتلاف دیالکتریک بر حسب بسامد برای نمونه‌های آلاییده شده با مس و درصدهای مختلف ایتریم  $.Bi_{1-x}Y_xFe_{0.8}Cu_{0.2}O_3$



شکل ۹ نمودار رسانندگی  $\sigma_{ac}$  بر حسب بسامد برای نمونه های آلايده شده با مس و درصد های مختلف ايتريم  $\text{Bi}_{1-x}\text{Y}_x\text{Fe}_{0.8}\text{Cu}_{0.2}\text{O}_3$

#### ۴. نتیجه گیری

در این پژوهش فریت بیسموت آلایش داده شده با مس ( $\text{BiFe}_{1-y}\text{Cu}_y\text{O}_3$ ) به مقدار  $y = 0, 20$  تهیه و آنگاه آلایش آن با ایتریم  $\text{X} = 0, 05, 0, 10, 0, 15, 0, 20, 0, 25$  با مقادیر ایتریم  $\text{Bi}_{1-x}\text{Y}_x\text{Fe}_{0.80}\text{Cu}_{0.20}\text{O}_3$  به روش سل-ژل در دمای  $650^\circ\text{C}$  و زمان ۱ ساعت تهیه شد. سپس ویژگی های ساختاری، مغناطیسی و دی الکتریکی نمونه ها با استفاده از آنالیزهای XRD، FESEM، FT-IR، EDX و VSM و LCR متر مورد ارزیابی و بررسی قرار گرفت. نتایج XRD نمونه های بدون آلایش و آلايده شده با ایتریم و مس مشخص شد که با افزایش مقدار آلایش ایتریم اندازه متوسط نانو بلور کها کاهش یافته اند که این کوچک تر شدن ذرات، سبب تغییر زاویه پیوندی Fe-O-Fe و FT-IR نمونه های بدون آلایش تغییر ساختار لوزی رخ به شبه مکعبی شده است. از نتایج آنالیز FT-IR نمونه های بدون آلایش و آلايده شده با ایتریم و درصد های مختلف مس مشخص شد که با افزایش ایتریم و مس، دره های مربوط به ارتعاشات کششی Fe-O کم کم محو شده اند و در نتیجه ارتعاشات خمشی نیز مقداری افزایش یافته که این تغییر در زاویه پیوندی O-Fe-O سبب ایجاد نامتقارنی در ساختار و موجب بهبود ویژگی های دی الکتریکی نمونه ها شده است. بررسی ویژگی های مغناطیسی نانوذرات فریت بیسموت و آلايده شده با ایتریم و مس نشان داد که نمونه ها ویژگی فرومغناطیسی خوبی را از خود نشان داده اند. از بررسی نتایج بدست آمده از LCR متر در تمام نمونه های تهیه شده (حالص و آلايده شده با مس و ایتریم) با افزایش بسامد، ثابت دی الکتریک و اتلاف دی الکتریک کاهش یافته در صورتی که رسانندگی



الکتریکی افزایش یافته است. همچنین آلایش مس و ایتریم سبب بهبود ویژگی دیالکتریکی نمونه‌ها شده است.

## ۵. تقدیر و تشکر

این پژوهش به کمک دانشگاه شهید چمران اهواز، ایران [SCU.SP1401.130] پشتیبانی شده است.

## منابع

- [1] Eerenstien W., Mathur N. D., Scott J. F., Multiferroic and magnetoelectric materials, *J. Nature Mater.*, **442**, 759-765, 2006.
- [2] Palstra T. T. M., Blake G. R., Multiferroic Materials: Physics and Properties. In *Encyclopedia of Materials: Science and Technology Encyclopedia of Materials*, Elsevier, 1-7, 2006.
- [3] Khomskii D., Classifying multiferroics: Mechanisms and effects, *Physics*, **2**, 1-8, 2009.
- [4] Ramesh R., Spaldin N. A, Multiferroics: progress and prospects in thin films, *Nature Mater.*, **6**, 9-21, 2007.
- [5] Gustau C., Scott J. F., Physics and application of bismuth ferrite, *J. Adv. Mater.*, **21**, 2463-2485, 2009.
- [6] Fischer P., Polomska M., Sosnowska I., Szymanksi M., Temperature dependence of the crystal and magnetic structures of BiFeO<sub>3</sub>, *J. Phys. C*, **13**, 1931, 1980.
- [7] Wang Y. H., Qi X., The effects of nickel substitution on bismuth ferrite, *Procedia Engineering*, **36**, 455-461, 2012.
- [8] Smolenskii G., Ioffe V., Colloquia International du Magnetism, *Communication*, **71**, 1958.
- [9] Achenbach G. D., James W. J., Gerson R., Preparation of Single-Phase Polycrystalline BiFeO<sub>3</sub>, *Journal of American Ceramic Society*, **50**, 437, 1967.
- [10] Mousavi Ghahfarokhi S. E., HelfiKh., Zargar Shoushtari M., Synthesis of the Single-Phase Bismuth Ferrite (BiFeO<sub>3</sub>) Nanoparticle and Investigation of Their Structural, Magnetic, Optical and Photocatalytic Properties, *Advanced Journal of Chemistry-Section A*, **5**, 45-58, 2022.
- [11] Muneeswaran M. , Jegatheesan P. , Giridharan N. V. , Synthesis of nanosized BiFeO<sub>3</sub> powders by co-precipitation, *J. Exp. Nanosci.*, **8**, 341-346, 2013.
- [12] Das R., Sarkar T., Mandal K., Multiferroic properties of Ba<sup>2+</sup> and Gd<sup>3+</sup> co-doped bismuth ferrite: magnetic, ferroelectric and impedance spectroscopic analysis, *journal of Applied Physics*, **45**, 1-10, 2012.
- [13] Xi, X.J., Wang, S.Y., Liu, W.F., Wang, H.J., Guo, F., Wang, X., Gao, J. and Li, D.J., Modulation of electric conduction in La-Mg codoped multiferroic BiFeO<sub>3</sub> ceramics, *Journal of Alloys and Compounds*, **603**, 224-229, 2014.
- [14] Mousavi Ghahfarokhi [S. E.](#)., Rahimi Larki [M.](#)., Kazeminezhad I., Investigation of the Structural, Magnetic, Dielectric, and Optical Properties of Mn and Co-Doped BiFeO<sub>3</sub> (Bi<sub>1-x</sub> Co<sub>x</sub> Fe<sub>0.8</sub> Mn<sub>0.2</sub> O<sub>3</sub> ) Nanoparticles, *IEEE Transactions on Magnetics*, **56**, 2000109-2000118, 2020.



- [15] Mousavi Ghahfarokhi S. E., Ghanbari L., Kazeminezhad I., Synthesizing  $\text{Bi}_{1-x}\text{Co}_x\text{Fe}_{1-y}\text{Zn}_y\text{O}_3$  nanoparticles and investigating their structural, optical and photocatalytic properties, *Journal of Superconductivity and Novel Magnetism*, **34**, 469-478, 2021.
- [16] Bellakki M. B., Manivannan V., Citrate-gel synthesis and characterization of yttrium-doped multiferroic  $\text{BiFeO}_3$ , *J. Sol-Gel. Sci. Technol.*, **53**, 184-192, 2010.
- [17] Mejía Gómez A., Canaria C., R Ochoa Burgos., Ortiz C A, Supelano G I., Parra Vargas C A, Structural study of yttrium substituted  $\text{BiFeO}_3$ , *Journal of Physics: Conference Series*, **687**, 012091, 2016.
- [18] Sheoran N., Kumar A., Kumar V., Banerjee A., Structural, Optical, and Multiferroic Properties of Yttrium ( $\text{Y}^{3+}$ ) Substituted  $\text{BiFeO}_3$  Nanostructures, *Journal of Superconductivity and Novel Magnetism*, **33**, 2017-2029, 2020.
- [19] Mousavi Ghahfarokhi S. E., Rahimi Larki M., Kazeminezhad I., The Effect of Mn doped on the Structural, Magnetic, Dielectric and Optical Properties of Bismuth Ferrite ( $\text{BiFe}_{1-x}\text{Mn}_x\text{O}_3$ ) Nanoparticles, *Vacuum*, **173**, 109143-109152, 2020.
- [20] Gharehchelo, A., Effect co-doped of Ba and Sm on the structural, dielectric and magnetic properties of bismuth ferrite nanopowders, MSc Thesis, Semnan University, 2014.
- [21] Mohamadiyan, F., Investigating of  $\text{BiFeO}_3$  multiferroic powders properties with co-doped of La and Sm, MSc Thesis, Semnan University, 2015.
- [22] Rahimi Leraki, M., Effect of addition of Mn and Co elements on the structural, magnetic, electrical and optical properties of  $\text{BiFeO}_3$  nanoparticles by the sol-gel method", MSc Thesis, Shahid Chamran University of Ahvaz (2017).
- [23] Lotey G.S., and Verma N.K., Multiferroism in rare earth metals-doped  $\text{BiFeO}_3$  nanowires, *Superlattices and Microstructures*, **60**, 60-66, 2013.
- [24] Sarkar K., Mukherjee S., Mukherjee S., Structural, electrical and magnetic behaviour of undoped and nickel doped nanocrystalline bismuth ferrite by solution combustion route, *Processing and Application of Ceramics*, **9**, 53-60, 2015.
- [25] Durai S. V., Kumar E., Muthuraj D., Jothy V. B., Investigation on Electrical and Structural Properties of Manganese Dioxide Nanoparticles, *Journal of Nano-and Electronic Physics*, **12**, 03011, 2020.



This article is an open-access article distributed under the terms and conditions of the Creative Commons Attribution-Noncommercial 4.0 International (CC BY-NC 4.0 license) (<http://creativecommons.org/licenses/by-nc/4.0/>).

